

## $x$ が大きい場合の不完全ガンマ関数 $\Gamma(\nu, x)$ の数値計算†

吉田年雄<sup>†</sup> 二宮市三<sup>†</sup>

不完全ガンマ関数  $\Gamma(\nu, x)$  について、 $\nu \geq 0$ かつ正数  $x$  が大きい場合の能率的な数値計算法を提案している。本論文では、 $\Gamma(\nu, x) = e^{-x} x^{\nu-1} f_{\nu}(1/x)$  で定義される  $f_{\nu}(t)$  について、その近似式を求めている。 $f_{\nu}(t)$  の満足する微分方程式に  $\tau$  法を適用すると、 $f_{\nu}(t)$  に対する近似式  $f_{\nu,m}(t) = \sum_{i=0}^m G_i(m, \nu) t^i / \sum_{i=0}^m H_i(m, \nu) t^i$  が求められる。上式を変形すると、 $\Gamma(\nu, x) \approx e^{-x} x^{\nu-1} \sum_{i=0}^m (1/x)^i \sum_{j=0}^i d_{ij} \nu^j / \sum_{i=0}^m (1/x)^i e_i V_i$  が得られる。ただし、 $d_{ij}$  および  $e_i$  は定数、 $V_0 = 1$ 、 $V_i = \prod_{l=1}^i (m-l+2-\nu)$  ( $i \geq 1$ ) である。

### 1. まえがき

本論文では、 $\nu \geq 0$ かつ正数  $x$  が大きい場合の不完全ガンマ関数  $\Gamma(\nu, x)$  の数値計算法について述べる。不完全ガンマ関数は、

$$\Gamma(\nu, x) = \int_x^\infty e^{-u} u^{\nu-1} du \quad (1)$$

で定義される<sup>1)</sup>。上式を繰り返し部分積分すれば、漸近展開式

$$\Gamma(\nu, x) \sim e^{-x} x^{\nu-1} \sum_{k=0}^{\infty} \frac{a_k}{x^k} \quad (2)$$

が得られる。ここで、

$$\left. \begin{array}{l} a_0 = 1 \\ a_k = (\nu-1)(\nu-2)\cdots(\nu-k) \quad (k \geq 1) \end{array} \right\} \quad (3)$$

である。また、漸近展開式(2)は、式(1)を変数変換した

$$\Gamma(\nu, x) = e^{-x} x^{\nu-1} \int_0^\infty e^{-u} \left(1 + \frac{u}{x}\right)^{\nu-1} du \quad (4)$$

において、被積分関数の中の  $(1+u/x)^{\nu-1}$  をテーラー展開し、形式的に項別積分しても得られる。式(2)は、 $\nu$  が整数のときには、その展開は有限個の項で終わり、厳密な式となる。しかし、それ以外のときには、式(2)は発散級数であり、最適な項数で打ち切っても、 $x$  が十分に大きいときを除いて、精度が悪く、 $\Gamma(\nu, x)$  の計算には不適切である。

本論文では、 $x$  が十分に大きいところはいうまでもなく、 $x$  が比較的小さいところまで、 $\Gamma(\nu, x)$  を能率的に計算できる方法を提案する。 $x$  が小さい場合の計

算法はすでに報告した<sup>2)</sup>。この両者の計算法により、すべての正数  $x$  について、 $\Gamma(\nu, x)$  を計算することができる。

### 2. 計算法

$\Gamma(\nu, x)$  に対して、次の漸化式

$$\Gamma(\nu+1, x) = e^{-x} x^{\nu} + \nu \Gamma(\nu, x) \quad (5)$$

が成り立つので、 $\nu$  を  $0 \leq \nu \leq 1$  に限定することにする。

式(4)の積分の部分を

$$f_{\nu}(t) = \int_0^\infty e^{-tu} (1+tu)^{\nu-1} du \quad (6)$$

と置く。ただし、 $t = 1/x$  であり、以後、 $t$  はすべてこの意味に用いることとする。本論文では、 $f_{\nu}(t)$  について、 $t$  が小さい( $x$  が大きい)場合の近似式を求める。

#### 2.1 $\tau$ 法

式(6)の  $f_{\nu}(t)$  は次の微分方程式を満足する。

$$t^2 f''_{\nu}(t) + \{(3-\nu)t+1\} f'_{\nu}(t) + (1-\nu)f_{\nu}(t) = 0 \quad (7)$$

この微分方程式に C. Lanczos の  $\tau$  法<sup>3)</sup>を適用して、 $t$  が小さい場合の近似式を求ることにする。上式の右辺に、 $\eta$  を適当な定数として、直交区間  $0 \leq t \leq \eta$  のずらし超球多項式 (shifted ultraspherical polynomial) を  $\tau$  倍したものと付加した微分方程式

$$t^2 f''_{\nu,m}(t) + \{(3-\nu)t+1\} f'_{\nu,m}(t) + (1-\nu)f_{\nu,m}(t) = \tau C_m^{*(\alpha)}\left(\frac{t}{\eta}\right) \quad (8)$$

を考える。ずらし超球多項式  $C_m^{*(\alpha)}(t)$  ( $C_m^{*(\alpha)}(t)$  は、超球多項式<sup>4)</sup>  $C_m^{(\alpha)}(t)$  の直交区間  $-1 \leq t \leq 1$  を  $0 \leq t \leq 1$  にずらしたもので、 $C_m^{*(\alpha)}(t) = C_m^{(\alpha)}(2t-1)$  なる関係が

† Computation of Incomplete Gamma Functions  $\Gamma(\nu, x)$  for Large Argument  $x$  by TOSHIO YOSHIDA and ICHIZO NINOMIYA (Faculty of Engineering, Nagoya University).

† 名古屋大学工学部情報工学

ある) は,  $\alpha > -\frac{1}{2}$ ,  $\alpha \neq 0$  のとき,

$$\begin{aligned} C_m^{*(\alpha)}(t) &= \sum_{k=0}^m C_{mk}^{*(\alpha)} t^k \\ &= \frac{\Gamma\left(\alpha + \frac{1}{2}\right)}{\Gamma(2\alpha)} \sum_{k=0}^m (-1)^{m-k} \frac{\Gamma(2\alpha + m + k)}{k!(m-k)! \Gamma\left(\alpha + \frac{1}{2} + k\right)} t^k \end{aligned} \quad (9)$$

と定義され,  $\alpha = 0$  のときには,  $C_m^{*(0)}(t) = \lim_{\alpha \rightarrow 0} (1/\alpha) C_m^{*(\alpha)}(t)$  と定義される. すらし超球多項式は  $\alpha = 0$  のときには, すらしチエビシェフ多項式  $T_m^*(t)$  を  $2/m$  倍したものに等しく,  $\alpha = 0.5$  のときには, すらしルジャンドル多項式  $P_m^*(t)$  となる. 式(8)は, 次の  $m$  次の多項式

$$f_{\nu,m}(t) = -\tau \sum_{k=0}^m \frac{C_{mk}^{*(\alpha)} \sum_{l=0}^k a_l t^l}{(k+1)a_{k+1}\eta^k} \quad (10)$$

を特解としてもつ ( $C_{mk}^{*(\alpha)}$  は式(9)で与えられた係数である). 式(8)の右辺の  $\tau$  が十分に小さいならば, この  $f_{\nu,m}(t)$  は,  $C_m^{*(\alpha)}(t/\eta)$  の直交区間  $0 \leq t \leq \eta$  において, 式(7)の  $f_\nu(t)$  に対する近似多項式と考えることができるであろう.  $f_\nu(0)=1$  であるので, 初期条件として,  $f_{\nu,m}(0)=1$  を採用する. そのとき,  $\tau$  は,

$$\tau = -\frac{1}{\sum_{k=0}^m \frac{C_{mk}^{*(\alpha)}}{(k+1)a_{k+1}\eta^k}} \quad (11)$$

と決められ,  $0 \leq t \leq \eta$  での  $f_\nu(t)$  に対する近似式

$$f_{\nu,m}(t) = \frac{\sum_{k=0}^m \frac{C_{mk}^{*(\alpha)} \sum_{l=0}^k a_l t^l}{(k+1)a_{k+1}\eta^k}}{\sum_{k=0}^m \frac{C_{mk}^{*(\alpha)}}{(k+1)a_{k+1}\eta^k}} \quad (12)$$

が得られる. 上式は, 減近展開式(2)の  $k$  項までの和 ( $k = 0, 1, \dots, m$ ) の重みつき平均を表している.

## 2.2 誤差解析

式(7)および(8)より, 絶対誤差  $E_{\nu,m}(t) = f_{\nu,m}(t) - f_\nu(t)$  は次の微分方程式を満足する.

$$\begin{aligned} t^2 E'_{\nu,m}(t) + \{(3-\nu)t+1\} E'_{\nu,m}(t) + (1-\nu)E_{\nu,m}(t) \\ = \tau C_m^{*(\alpha)}\left(\frac{t}{\eta}\right) \end{aligned} \quad (13)$$

ただし, 上式の右辺および以下の式中の  $\tau$  は, 式(11)で与えられたものとする. 上式の一般解は, 式(7)の独立な解が

$$f_\nu(t) = \left(\frac{1}{t}\right)^{1-\nu} e^{1/t} \Gamma\left(\nu, \frac{1}{t}\right) \quad (14)$$

$$g_\nu(t) = \left(\frac{1}{t}\right)^{1-\nu} e^{1/t} \quad (15)$$

であることより, 定数変化法を用いて,

$$\begin{aligned} E_{\nu,m}(t) &= Af_\nu(t) + Bg_\nu(t) \\ &\quad - f_\nu(t)\tau \int_0^t \frac{C_m^{*(\alpha)}\left(\frac{u}{\eta}\right) g_\nu(u)}{u^2 \Delta(u)} du \\ &\quad + g_\nu(t)\tau \int_0^t \frac{C_m^{*(\alpha)}\left(\frac{u}{\eta}\right) f_\nu(u)}{u^2 \Delta(u)} du \end{aligned} \quad (16)$$

となる. ただし,

$$\begin{aligned} \Delta(u) &= f_\nu(u)g_\nu'(u) - f_\nu'(u)g_\nu(u) \\ &= -\left(\frac{1}{u}\right)^{3-\nu} e^{1/u} \end{aligned} \quad (17)$$

であり,  $A$  および  $B$  は初期条件によって決定される定数である.  $f_\nu(t) = 1 + O(t)$  および式(17)より, 初期条件  $E_{\nu,m}(0) = 0$  は

$$A \lim_{t \rightarrow 0} f_\nu(t) + B \lim_{t \rightarrow 0} g_\nu(t) = 0 \quad (18)$$

と表される.  $\lim_{t \rightarrow 0} f_\nu(t) = 1$  であるが,  $\lim_{t \rightarrow 0} g_\nu(t)$  は存在しない (発散する) ので, 上式が成り立つためには,

$$A = B = 0 \quad (19)$$

でなければならない. したがって, 絶対誤差  $E_{\nu,m}(t)$  は,

$$\begin{aligned} E_{\nu,m}(t) &= \left(\frac{1}{t}\right)^{1-\nu} e^{1/t} \tau \int_0^t \left\{ \Gamma\left(\nu, \frac{1}{t}\right) \right. \\ &\quad \left. - \Gamma\left(\nu, \frac{1}{u}\right) \right\} C_m^{*(\alpha)}\left(\frac{u}{\eta}\right) du \end{aligned} \quad (20)$$

と表される.

ここで,  $\alpha \geq 0$  の場合について,  $m \rightarrow \infty$  のときに,  $0 \leq t < +\infty$  で  $E_{\nu,m}(t) \rightarrow 0$  に一様に収束することを証明することにする.  $-\frac{1}{2} < \alpha < 0$  の場合は, 紙面の都合で省略するが, 同様な結果が得られる.  $0 \leq u \leq t$  において,

$$0 \leq \Gamma\left(\nu, \frac{1}{t}\right) - \Gamma\left(\nu, \frac{1}{u}\right) \leq \Gamma\left(\nu, \frac{1}{t}\right) \quad (21)$$

であること, および,  $0 \leq u \leq \eta$  において,  $C_m^{*(\alpha)}\left(\frac{u}{\eta}\right)$  の最大値  $G(m, \alpha)$  は,

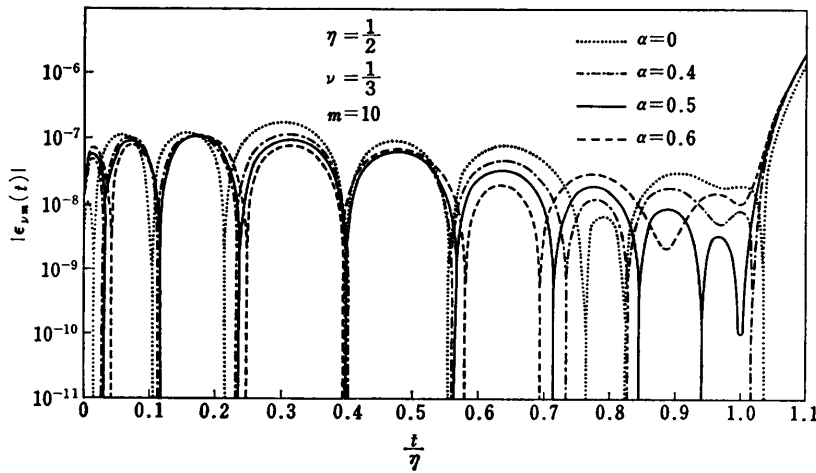


図 1  $t$  に対する  $|\epsilon_{rm}(t)|$   
Fig. 1  $|\epsilon_{rm}(t)|$  as a function of  $t$ .

$$G(m, \alpha) = \begin{cases} \frac{2}{m} & (\alpha=0) \\ \frac{\Gamma(m+2\alpha)}{\Gamma(2\alpha)\Gamma(m+1)} & (\alpha>0) \end{cases} \quad (22)$$

であること<sup>5)</sup>より、

$$|E_{rm}(t)| \leq |tf_\nu(t)\tau G(m, \alpha)| \quad (23)$$

が成り立つ。いま考えている  $0 \leq \nu \leq 1$  のときには、  
 $(-1)^k a_k \geq 0$  であり、したがって、 $C_{mk}^{*(\alpha)} / a_{k+1}$  ( $k=0, 1, 2, \dots, m$ ) は同符号であるので、

$$\begin{aligned} |\tau G(m, \alpha)| &= \left| \frac{G(m, \alpha)}{\sum_{k=0}^m \frac{C_{mk}^{*(\alpha)}}{(k+1)a_{k+1}\eta^k}} \right| \\ &< \left| \frac{G(m, \alpha)}{\frac{C_{m1}^{*(\alpha)}}{2a_2\eta}} \right| = \frac{(2\alpha+1)a_2\eta}{m(m+2\alpha)} \end{aligned} \quad (24)$$

が得られ、上式より、 $m \rightarrow \infty$  のとき、 $|\tau G(m, \alpha)| \rightarrow 0$  となる。式(23)において、 $t$  が有限ならば、 $tf_\nu(t)$  は有界な関数である。したがって、 $m \rightarrow \infty$  のとき、 $|E_{rm}(t)|$  は 0 に一様収束する。  
〔証明終〕

### 2.3 $\alpha$ の選定

ここでは、式(12)に含まれているパラメータ  $\alpha$  の最適値を見つけることにする。図 1 は、 $m=10$ ,  $\nu=1/3$ ,  $\eta=1/2$  のとき、 $0 \leq t \leq \eta$  における  $f_{rm}(t)$  の相対精度  $\epsilon_{rm}(t) = (f_{rm}(t) - f_\nu(t)) / f_\nu(t)$  を、 $\alpha=0, 0.4, 0.5$  および 0.6 に対して示したものである。この図より、誤差の符号が変わることにより、精度が急激に高くなるところを除いて、

$$\left. \begin{array}{l} t=\eta \\ \alpha=1/2 \end{array} \right\} \quad (25)$$

のとき、すなわち、 $t$  が区間  $0 \leq t \leq \eta$  の右端点であり、直交多項式がずらしルジャンドル多項式のとき、精度が最も高いことがわかる。 $t=\eta, \alpha=0$  (ずらしチエビシェフ多項式に相当) のときと比べて、2桁程度精度が高い。式(25)のとき、精度が高いことは、 $\eta=1/2$  以外の場合でも同様である。このようになるのは、式(20)の積分の部分において、関数  $\Gamma(\nu, 1/t) - \Gamma(\nu, 1/u)$  が、 $m-1$  次の多項式で近似されやすい関数であるからと考えられる。なぜならば、いま、 $F_{m-1}(u)$  を  $m-1$  次の多項式、 $P_m^*(u)$  を  $m$  次のずらしルジャンドル多項式とすれば、 $P_m^*(u)$  の直交関係から、

$$\int_0^\eta F_{m-1}(u) P_m^*\left(\frac{u}{\eta}\right) du = 0 \quad (26)$$

となるが、 $F_{m-1}(u)$  が  $m-1$  次の多項式でなくとも、 $m-1$  次の多項式により、よい近似で表される関数ならば、その積分値は十分に小さな値となるはずであるからである。

以上より、式(12)において、 $t$  を  $\eta, \alpha$  を  $1/2$  と置く。その式において、 $\eta$  は任意の値を取ることができるので、あらためて、その  $\eta$  を  $t$  とすれば、

$$f_{rm}(t) = \frac{\sum_{k=0}^m \frac{P_{mk}^* \sum_{l=0}^k a_l t^l}{(k+1)a_{k+1} t^k}}{\sum_{k=0}^m \frac{P_{mk}^*}{(k+1)a_{k+1} t^k}} \quad (27)$$

となる。ただし、 $P_{mk}^*$  はズラしルジャンドル多項式

$$P_m^*(t) = \sum_{k=0}^m P_{mk}^* t^k \quad (28)$$

の係数である。

#### 2.4 計算式

式(27)の分子、分母に  $t^m$  を乗じ、 $t$  のべきでまとめれば、

$$f_{\nu m}(t) = \frac{\sum_{i=0}^m G_i(m, \nu) t^i}{\sum_{i=0}^m H_i(m, \nu) t^i} \quad (29)$$

となる。ただし、係数  $G_i(m, \nu)$  および  $H_i(m, \nu)$  は、

$$G_i(m, \nu) = \prod_{k=0}^i \frac{P_{m, m-i+k}^* a_k}{(m+1-i+k) a_{m+1-i+k}} \quad (30)$$

$$H_i(m, \nu) = \prod_{k=0}^i \frac{P_{m, m-i}^*}{(m+1-i) a_{m+1-i}} \quad (31)$$

である。

式(30)の  $G_i(m, \nu)$  に着目しよう。 $G_i(m, \nu)$  は、式(3)により定義される  $a_k$  を含んでいる。この  $a_k$  は  $\nu$  の  $k$  次式であり、 $a_k = (\nu - k) a_{k-1}$  ( $k \geq 1$ ) なる関係を満たす。すなわち、添字の大きいものは、添字の小さいものの因子をすべて含む。また、式(30)の分母の  $a_{m+1-i+k}$  ( $0 \leq k \leq i$ ) のなかで、 $\nu$  の次数の最も高いものは  $a_{m+1}$  である。したがって、式(30)は、 $a_{m+1}$  を乘すれば、次数が  $i (= k - (m+1-i+k) + m+1)$  の  $\nu$  の多項式

$$G_i(m, \nu) = \frac{1}{a_{m+1}} \sum_{k=0}^i \frac{P_{m, m-k}^* R_{i-k}^{(1)} R_k^{(2)}}{m-k+1} \quad (32)$$

となる。ただし、 $R_k^{(1)}$  および  $R_k^{(2)}$  は  $\nu$  の  $k$  次多項式であり、

$$\left. \begin{aligned} R_0^{(1)} &= R_0^{(2)} = 1 \\ R_k^{(1)} &= \prod_{l=1}^k (\nu - l) \quad (k \geq 1) \\ R_k^{(2)} &= \prod_{l=1}^k (\nu - m + l - 2) \quad (k \geq 1) \end{aligned} \right\} \quad (33)$$

で与えられる。式(32)を  $\nu$  のべきで書きまとめると、

$$G_i(m, \nu) = \frac{1}{a_{m+1}} \sum_{j=0}^i b_{ij} \nu^j \quad (34)$$

の形となる。ここで、係数  $b_{ij}$  ( $m$  のみに依存する) は、具体的には、次式にて表される。

$$b_{ij} = \sum_{l=0}^j \sum_{k=j-l}^{i-l} \frac{P_{m, m-k}^* P_{i-k, l} q_{k, j-l}}{m-k+1} \quad (35)$$

ただし、 $p_{k, l}$  および  $q_{k, l}$  は、それぞれ、

$$\left. \begin{aligned} p_{0,0} &= 1 & p_{1,0} &= -1 & p_{1,1} &= 1 \\ q_{0,0} &= 1 & q_{1,0} &= -m-1 & q_{1,1} &= 1 \end{aligned} \right\} \quad (36)$$

を初期値として、 $2 \leq k \leq i$  に対して、次の漸化式

$$\left. \begin{aligned} p_{k,0} &= -kp_{k-1,0} \\ p_{k,l} &= p_{k-1,l-1} - kp_{k-1,l} \quad (1 \leq l \leq k-1) \\ p_{k,k} &= p_{k-1,k-1} (= 1) \end{aligned} \right\} \quad (37)$$

$$\left. \begin{aligned} q_{k,0} &= -(m-k+2)q_{k-1,0} \\ q_{k,l} &= q_{k-1,l-1} - (m-k+2)q_{k-1,l} \quad (1 \leq l \leq k-1) \\ q_{k,k} &= q_{k-1,k-1} (= 1) \end{aligned} \right\} \quad (38)$$

で与えられる。

つぎに、式(31)の  $H_i(m, \nu)$  を少し書き直した

$$H_i(m, \nu) = \frac{1}{a_{m+1}} \frac{P_{m, m-i}^* a_{m+1}}{(m+1-i) a_{m+1-i}} \quad (39)$$

に着目しよう。式(3)より、次の関係式が成り立つ。

$$\frac{a_{m+1}}{a_{m+1-i}} = (-1)^i V_i \quad (40)$$

ただし、

$$\left. \begin{aligned} V_0 &= 1 \\ V_i &= \prod_{l=1}^i (m-l+2-\nu) \quad (i \geq 1) \end{aligned} \right\} \quad (41)$$

である。したがって、式(29)は、式(34), (39)および(40)より、

$$f_{\nu m}(t) = \frac{\sum_{i=0}^m t^i \sum_{j=0}^i b_{ij} \nu^j}{\sum_{i=0}^m t^i c_i V_i} \quad (42)$$

と表される。ただし、

$$c_i = \frac{(-1)^i P_{m, m-i}^*}{m+1-i} \quad (43)$$

である ( $c_i$  も  $m$  のみに依存する)。

結局、式(4), (6)と(42)を用いれば、 $x$  が大きい場合の  $\Gamma(\nu, x)$  の能率的な計算式として、

$$\Gamma(\nu, x) = e^{-x} x^{m-1} \frac{\sum_{i=0}^m \left(\frac{1}{x}\right)^i \sum_{j=0}^i d_{ij} \nu^j}{\sum_{i=0}^m \left(\frac{1}{x}\right)^i e_i V_i} \quad (44)$$

が得られる。ただし、

$$\left. \begin{aligned} d_{ij} &= b_{ij}/c_1 \\ e_i &= c_i/c_1 \end{aligned} \right\} \quad (45)$$

である。

#### 2.5 係数 $\{d_{ij}\}$ および $\{e_i\}$ について

式(44)は、所要の精度に応じて  $m$  を定めれば、係数  $\{d_{ij}\}$  および  $\{e_i\}$  が定数の計算式となる。したがって、その定数  $\{d_{ij}\}$  および  $\{e_i\}$  の値を、あらかじめ、計算して、表にしておけば、実際の  $\Gamma(\nu, x)$  の計算は、それを用いて能率的に行うことができる。 $\{d_{ij}\}$  および  $\{e_i\}$  の計算は、丸め誤差を防ぐため、多倍長演算により求めておくことが好ましい。

さて、 $\{d_{ij} | i=0, 1, \dots, m; j=0, 1, \dots, i\}$  の要素は、一部、負になるが、問題となるような桁落ちは生じな

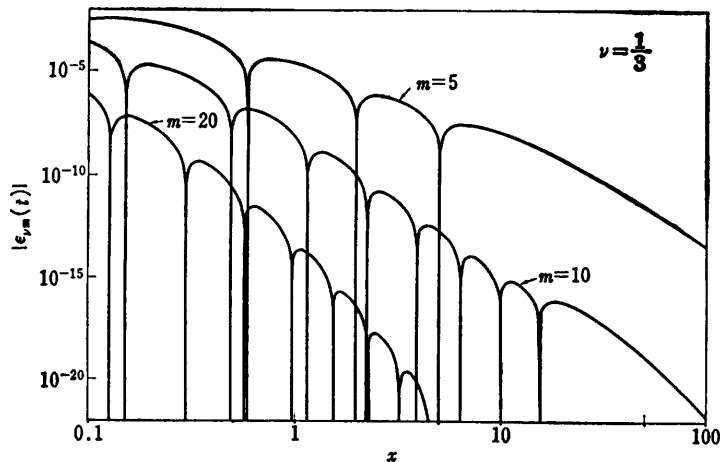


図 2  $x$  に対する  $|\epsilon_{r,m}(t)|$   
Fig. 2  $|\epsilon_{r,m}(t)|$  as a function of  $x$ .

い。また、 $\{e_i \mid i=0, 1, \dots, m\}$  の要素は  $m$  に依らず、すべて正である。さらに、 $0 \leq \nu \leq 1$ において、 $\{V_i \mid i=0, 1, \dots, m\}$  の要素は、すべて正であるので、分母の計算で桁落ちはない。

なお、続けて同じ値の  $\nu$  に対して、 $\Gamma(\nu, x)$  の値を能率的に計算できるようにするために、式(44)の  $\sum_{j=0}^i d_{ij} \nu^j$  および  $e_i V_i$  の計算値 ( $i=0, 1, \dots, m$ ) を一時的に記憶しておくとよい。なぜならば、その場合には、それらの計算を省くことができるからである。

## 2.6 近似式の次数 $m$ の決定について

近似式(44)の次数  $m$  の決め方について考えよう。

図 2 には、近似式の  $x$  に対する相対精度  $\epsilon_{r,m}(t)$  の例として、 $\nu = 1/3$  について、 $m=5, 10$  および  $20$  の場合が示されている。この図は、誤差の符号が変わることに起因して、精度が急激に高くなっている部分を除いて、 $m$  を大きくすると ( $x$  を固定して)、精度が高くなり、また、 $x$  を大きくすると ( $m$  を固定して)、精度が高くなることを示している。

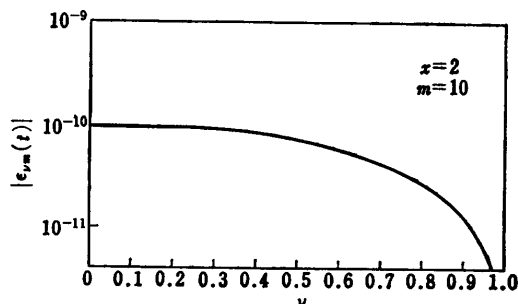


図 3  $\nu$  に対する  $|\epsilon_{r,m}(t)|$   
Fig. 3  $|\epsilon_{r,m}(t)|$  as a function of  $\nu$ .

また、図 3 には、近似式の  $\nu$  に対する相対精度  $\epsilon_{r,m}(t)$  の例として、 $x=2, m=10$  の場合が示されている。 $\nu=1$  で精度が高くなっているのは、 $\nu=1$  のとき、 $a_1=0$  となり、式(20)において、 $\tau=0$  となるからである。精度は、急激に高くなる部分を除いて、ほぼ同じ程度であるので、 $\nu$  によって  $m$  を変える必要はないと考えられる。

所要の精度に応じて、 $m$  を定めなければならないが、 $x$  のいかなる値以上で、式(44)を用いるかによって異なってくる。 $x$  が小さいときには、「 $x$  が小さい場合の  $\Gamma(\nu, x)$  の計算法」<sup>2)</sup> を用いることができ、参考文献 2) の図 2 の実線以下の方に対して、ある規準の誤差内で  $\Gamma(\nu, x)$  を求めることができることを示している。

$x$  が小さい場合の方法および  $x$  が大きい場合の方法(本方法)を、 $\nu$  および  $x$  の領域により使いわける必要がある。両者の方法の能率を検討した結果として、 $\nu$  には依存せず、

$$x < 2 \quad (46)$$

では、 $x$  が小さい場合の方法を用い、

$$x \geq 2 \quad (47)$$

では、 $x$  が大きい場合の方法を用いるとよいことがわかった。 $m$  をいろいろ変えて、式(44)の相対精度を調べることより、単精度(8D)の場合には、

$$\left. \begin{array}{l} 2 \leq x < 6 \text{ では, } m=8 \\ x \geq 6 \text{ では, } m=6 \end{array} \right\} \quad (48)$$

とし、倍精度(18D)の場合には、

$$\left. \begin{array}{l} 2 \leq x < 4 \text{ では, } m=24 \\ 4 \leq x < 8 \text{ では, } m=18 \\ x \geq 8 \text{ では, } m=14 \end{array} \right\} \quad (49)$$

とすることにした。

## 2.7 $d_{ij}, e_i$ の数表および数表作成プログラム

$\{d_{ij} \mid i=0, 1, \dots, m; j=0, 1, \dots, i\}$  は、 $m$  が大きいとき、大きい  $i$  に対して、 $j$  が大きくなるにつれて ( $i$  を固定して)、急激に減少する。したがって、式(44)の分子の  $\sum_{j=0}^i d_{ij} \nu^j$  の計算において、単精度の場合には、

$$d_{ij} \nu^j \leq d_{ij} < 0.5 \times 10^{-8} d_{i0}, \quad (50)$$

倍精度の場合には、

$$d_{ij} \nu^j \leq d_{ij} < 0.5 \times 10^{-18} d_{i0} \quad (51)$$

を満足する  $j$  に対して、 $d_{ij} \nu^j$  の計算を行うことは無

表 1  $m=6$  のときの  $d_{ij}$  および  $e_i$   
Table 1  $d_{ij}$  and  $e_i$  for  $m=6$ .

$d_{00}$	0.2857142857E+00
$d_{10}$	0.6714285714E+01
$d_{11}$	-0.7142857143E+00
$d_{20}$	0.5084415584E+02
$d_{21}$	-0.1058441558E+02
$d_{22}$	0.6493506494E+00
$d_{23}$	0.1459220779E+03
$d_{24}$	-0.4212987013E+02
$d_{25}$	0.5558441558E+01
$d_{26}$	-0.2597402597E+00
$d_{30}$	0.1430389610E+03
$d_{31}$	-0.4370995671E+02
$d_{32}$	0.1078787879E+02
$d_{33}$	-0.1069264069E+01
$d_{34}$	0.4329004329E-01
$d_{35}$	0.3189610390E+02
$d_{36}$	-0.3926406926E+01
$d_{37}$	0.5183982684E+01
$d_{38}$	-0.4870129870E+00
$d_{39}$	0.6277056277E-01
$d_{40}$	-0.2164502165E-02
$d_{41}$	0.2597402597E+00
$d_{42}$	0.5930735931E+00
$d_{43}$	0.4870129870E+00
$d_{44}$	0.1839826840E+00
$d_{45}$	0.3246753247E-01
$d_{46}$	0.2164502165E-02
$e_0$	0.2857142857E+00
$e_1$	0.1000000000E+01
$e_2$	0.1363636364E+01
$e_3$	0.9090909091E+00
$e_4$	0.3030303030E+00
$e_5$	0.4545454545E-01
$e_6$	0.2164502165E-02

意味となる。そこで、 $\sum_{j=0}^i d_{ij} \nu^j$  の  $j$  の上限は、 $i$  ではなくて、意味のあるところまでしか取らないことにする。表 1 および表 2 には、単精度用として、それぞれ、 $m=6$  および 8 に対して、 $d_{ij}$  および  $e_i$  の数値が示されている。倍精度用に対しては、表が大きくなるので、代りに、図 4 に、表を出力する FORTRAN プログラム（4 倍精度演算を使用している）を示す。適当に修正すれば、単精度用の表の出力もできることはずはない。なお、出力の形式および引用するサブルーチン副プログラム PUNCH と RPL は参考文献 6) を参照せよ。

### 3. む す び

以上において、 $x$  が大きい場合の不完全ガンマ関数  $\Gamma(\nu, x)$  の計算法について述べた。本方法は、連分数

表 2  $m=8$  のときの  $d_{ij}$  および  $e_i$   
Table 2  $d_{ij}$  and  $e_i$  for  $m=8$ .

$d_{00}$	0.2222222222E+00
$d_{10}$	0.8777777778E+01
$d_{11}$	-0.7777777778E+00
$d_{20}$	0.1258444444E+03
$d_{21}$	-0.2240000000E+02
$d_{22}$	0.1088888889E+01
$d_{23}$	0.8230666667E+03
$d_{24}$	-0.2169555556E+03
$d_{25}$	0.2186666667E+02
$d_{26}$	-0.7777777778E+00
$d_{30}$	0.2535948718E+04
$d_{31}$	-0.8523675214E+03
$d_{32}$	0.1355470085E+03
$d_{33}$	-0.1019658120E+02
$d_{34}$	0.2991452991E+00
$d_{35}$	0.3435610256E+04
$d_{36}$	-0.1293316239E+04
$d_{37}$	0.3042307692E+03
$d_{38}$	-0.3647008547E+02
$d_{40}$	0.2312820513E+01
$d_{41}$	-0.5982905983E-01
$d_{42}$	0.1693751049E+04
$d_{43}$	-0.5787048951E+03
$d_{44}$	0.2340427350E+03
$d_{45}$	-0.3712354312E+02
$d_{46}$	0.4060916861E+01
$d_{47}$	-0.2275058275E+00
$d_{48}$	0.5439005439E-02
$d_{50}$	0.1945286713E+03
$d_{51}$	-0.1949650350E+02
$d_{52}$	0.5357637918E+02
$d_{53}$	-0.4674281274E+01
$d_{54}$	0.1733954934E+01
$d_{55}$	-0.1087801088E+00
$d_{56}$	0.7148407148E-02
$d_{57}$	-0.1554001554E-03
$d_{58}$	0.7832167832E+00
$d_{59}$	0.2030769231E+01
$d_{60}$	0.2040714841E+01
$d_{61}$	0.1051903652E+01
$d_{62}$	0.3045843046E+00
$d_{63}$	0.5003885004E-01
$d_{64}$	0.4351204351E-02
$d_{65}$	0.1554001554E-03
$e_0$	0.2222222222E+00
$e_1$	0.1000000000E+01
$e_2$	0.1866666667E+01
$e_3$	0.1866666667E+01
$e_4$	0.1076923077E+01
$e_5$	0.3589743590E+00
$e_6$	0.6526806527E-01
$e_7$	0.5594405594E-02
$e_8$	0.1554001554E-03

```

IMPLICIT REAL*16(A-H,O-Z)
DIMENSION P(50,50),Q(50,50),FCT(51)
&,AM(50),C(50),D(50),E(50)
DIMENSION MM(2)
DATA Q0,Q1,QM1/0.0Q0,1.0Q0,-1.0Q0/
DATA RE/0.5Q-18/
DATA MM/14,24/
MMAX=MAX0(MM(1),MM(2))
P(1,1)=Q1
P(2,1)=QM1
P(2,2)=Q1
Q(1,1)=Q1
Q(2,2)=Q1
FCT(1)=Q1
FCT(2)=Q1
DO 110 K=2,MMAX
FK=QFLOAT(K)
P(K+1,1)=-P(K,1)*FK
P(K+1,K+1)=Q1
Q(K+1,K+1)=Q1
FCT(K+1)=FCT(K)*FK
KM1=K-1
DO 100 L=1,KM1
P(K+1,L+1)=-P(K,L+1)*FK+P(K,L)
100 CONTINUE
110 CONTINUE
FCT(MMAX+2)=QFLOAT(MMAX+1)*FCT(MMAX+1)
DO 500 IM=1,2
M=MM(IM)
MP1=M+1
AM(1)=QFLOAT(M+1)
AM(2)=QFLOAT(M)
Q(2,1)=-AM(1)
DO 210 K=2,M
FMK=QFLOAT(M-K+2)
Q(K+1,1)=-Q(K,1)*FMK
AM(K+1)=FMK-Q1
KM1=K-1
DO 200 L=1,KM1

```

```

      Q(K+1,L+1)=-Q(K,L+1)*FMK+Q(K,L)
200 CONTINUE
210 CONTINUE
W=FCT(M+1)
C(1)=Q1
DO 220 K=1,M
W=-QFLOAT(M+K)/QFLOAT(K)**2*W
C(K+1)=W/FCT(M-K+1)
220 CONTINUE
C2=-C(M)/AM(2)
DO 360 I=1,MP1
DO 330 J=1,I
S=Q0
DO 310 L=1,J
JML=J-L+1
IML=I-L+1
DO 300 K1=JML,IML
K=K1-1
S=P(I-K,L)*Q(K+1,J-L+1)/AM(K+1)
&*C(MP1-K)+S
300 CONTINUE
310 CONTINUE
D(J)=S/C2
IF(QABS(D(J)/D(1)).GE.RE) GO TO 330
IE=J-1
GO TO 350
330 CONTINUE
IE=I
350 CALL PUNCH(D,IE)
360 CONTINUE
TI=Q1
DO 400 I=1,MP1
E(I)=C(MP1-I+1)/(AM(I)*C2)*TI
TI=TI*QM1
400 CONTINUE
CALL PUNCH(E,MP1)
500 CONTINUE
STOP
END

```

図 4 表の出力のためのプログラム  
Fig. 4 Program for output of tables.

展開<sup>7)</sup>

$$\Gamma(\nu, x) = x^{\nu-1} e^{-x} \left[ \frac{1}{1} + \sum_{k=1}^{\infty} \left\{ \frac{k-\nu}{x} + \frac{k}{1} \right\} \right] \quad (52)$$

を、その分子、分母を漸化式で計算する場合と比べて、 $x$  が約 10 以上では、能率は同程度であるが、それ以下になると能率がよい（たとえば、 $\nu=0$ ,  $x=2$  では、計算時間は約半分で済む）。また、続けて同じ値の  $\nu$  に対して、 $\Gamma(\nu, x)$  を求めるときには、本方法は途中の計算を省くことができるので、連分数展開と比べると、非常に能率的である。

謝辞 日頃ご討論いただき本学鳥居達生助教授に感謝します。

### 参考文献

- 森口繁一, 宇田川鉢久, 一松 信: 数学公式III, 岩波全書, p. 14, 岩波書店, 東京 (1968).

- 吉田年雄, 二宮市三:  $x$  が小さい場合の不完全ガンマ関数  $\Gamma(\nu, x)$  の数値計算, 情報処理学会論文誌, Vol. 23, No. 5, pp. 522-528 (1982).
- Lanczos, C.: *Applied Analysis*, p. 464, Prentice Hall, Englewood Cliffs (1956).
- National Bureau of Standards: *Handbook of Mathematical Functions*, Appl. Math. Ser. 55, p. 774, U.S. Government Printing Office, Washington, D.C. (1964).
- Szegö, G.: *Orthogonal Polynomials*, p. 171, American Mathematical Society, Providence, Rhode Island (1967).
- 吉田年雄, 二宮市三:  $x$  が大きい場合の変形ベッセル関数  $K_\nu(x)$  の数値計算, 情報処理学会論文誌, Vol. 22, No. 4, pp. 312-319 (1981).
- 山内二郎, 宇野利雄, 一松 信: 電子計算機のための数値計算法III, p. 137, 培風館, 東京 (1972).

(昭和 58 年 6 月 22 日受付)  
(昭和 58 年 9 月 13 日採録)